

miR-25 靶向作用 FBXO33 在肾透明细胞癌凋亡及预后的相关实验研究^{*}

和新盈^{1,2},王书文¹,李宇³,张冠军¹ (1. 西安交通大学第一附属医院病理科,西安 710061;

2. 西安医学院病理教研室,西安 710061;3. 陕西省人民医院放疗科,西安 710068)

摘要:目的 探索 miR-25 与 FBXO33 在肾透明细胞癌(renal cell carcinoma, RCC)中的相关性,并分析其与肾癌细胞凋亡及预后的关系。**方法** 从肿瘤基因图谱(the cancer genome atlas, TCGA)数据库中获取 1998~2013 年 511 例 RCC 芯片数据,Pearson 检验分析 miR-25 和 FBXO33 表达的相关性;检测 miR-25 对构建的 FBXO33 3'UTR 野生型、突变型及空白对照荧光素酶报告基因中荧光素表达的影响;CCK8 法检测瞬转 miR-25 mimic, siRNA 及对照序列对 RCC 细胞活力的影响;流式细胞术检测瞬转 miR-25 mimic, siRNA 及对照序列对 RCC 细胞凋亡的影响;TCGA 数据库中筛选出 miR-25 与 FBXO33 表达负相关且具有随访的 58 例患者,分为 miR-25 低表达联合 FBXO33 高表达组($n=34$)和 miR-25 高表达联合 FBXO33 低表达组($n=24$)进行生存分析,采用 Log-rank 检验和 Gehan-Breslow-Wilcoxon 检验。**结果** RCC 组织中 FBXO33 与 miR-25 表达负相关($r=-0.161$ 1, Pearson 检验)。与空白对照组相比,miR-25 可降低野生型组 RLU 至 $80.2\% \pm 2.6\%$,差异具有统计学意义($t=6.539$, $P=0.006$);而突变序列组 RLU 为空白对照组的 $103.5\% \pm 8.4\%$,差异不具有统计学意义($t=0.041$ 3, $P=0.968$ 4)。72 h 细胞活力与空白对照组相比,miR-25 siRNA 组提高 $32.7\% \pm 3.5\%$,差异具有统计学意义($P<0.05$);而 miR-25 mimic 组降低 $23.3\% \pm 1.7\%$,差异具有统计学意义($P<0.05$)。mimic-miR-25-3p 与其对照组比较,早期凋亡率降低(8.83 ± 0.09 vs 12.83 ± 0.14),差异具有统计学意义($t=42.17$, $P=0.005$);晚期凋亡率轻度升高(0.41 ± 0.10 vs 0.33 ± 0.15),差异无统计学意义($t=0.75$, $P=0.639$);siRNA-miR-25-3p 与其对照组比较,早期凋亡率升高(19.05 ± 1.64 vs 13.68 ± 0.78),差异具有统计学意义($t=5.12$, $P=0.006$);晚期凋亡率轻度降低(0.56 ± 0.10 vs 0.62 ± 0.08),差异无统计学意义($t=0.83$, $P=0.376$)。miR-25 低表达同时 FBXO33 高表达患者($n=34$)与 miR-25 高表达而 FBXO33 低表达者($n=24$)相比生存率更高,差异具有统计学意义(采用 Log-rank 检验 $P=0.025$ 2, 采用 Gehan-Breslow-Wilcoxon 检验 $P=0.004$ 9)。**结论** miR-25 可抑制肾癌 FBXO33, 提高细胞活性, 抑制凋亡而降低患者预后。

关键词:miR-25;FBXO33;肾透明细胞癌;细胞凋亡;预后

中图分类号:R737.11;R730.43 文献标志码:A 文章编号:1671-7414(2017)01-038-04

doi:10.3969/j.issn.1671-7414.2017.01.011

Study on the Relationship of MiR-25 Targeting FBXO33 with Cell Apoptosis and Prognosis in Renal Cell Carcinoma

HE Xin-ying^{1,2}, WANG Shu-wen¹, LI Yu³, ZHANG Guan-jun¹ (1. Department of Pathological Section, the First Affiliated Hospital of Xi'an Jiaotong University, Xi'an 710061, China;
2. Pathological Staff Room, Xi'an Medical College, Xi'an 710061, China;
3. Department of Radiotherapy, Shaanxi Provincial People's Hospital, Xi'an 710068, China)

Abstract: Objective To explore the correlation between miR-25 and FBXO33 in renal cell carcinoma (RCC), and to analyze the relationship with apoptosis and prognosis of renal cell carcinoma. **Methods** The 511 RCC chip results, from 1998 to 2013, were downloaded from the Cancer Genome Atlas (TCGA) database, and were analyzed for the correlation between miR-25 and FBXO33 by Pearson test. The expression of fluorescein were detected with the FBXO33 3'UTR wild-type, mutant and blank control luciferase reporter gene treated by miR-25. The viability of cells transient translated by the miR-25 mimic, siRNA and the controls were detected by CCK8 method. The apoptosis of cells transient translated by the miR-25 mimic, siRNA and the controls were detected by flow cytometry. 58 cases with follow-up data were screened from TCGA by expression of FBXO33 negative correlation miR-25. The survival was analyzed between low expression of miR-25 combined with FBXO33 high expression group ($n=34$) with high expression of miR-25 combined with FBXO33 low expression group ($n=24$), using Log-rank test and Gehan-Breslow-Wilcoxon test. **Results** FBXO33 was negatively correlated with miR-25 in RCC tissue ($r=-0.161$ 1, Pearson test). Compared with the control group, miR-25 could reduce the RLU of wild type group to $80.2\% \pm 2.6\%$, the difference was statistically significant ($t=6.539$, $P=0.006$). The RLU of mutation group was $103.5\% \pm 8.4\%$ compared with that of blank control group, the difference was not statistically significant ($t=0.041$ 3, $P=$

* 基金项目:陕西省教育厅科学研究项目(12JK0699);陕西省科学技术研究发展计划(2011JM4038)。

作者简介:和新盈(1972—),女,硕士研究生,副教授,主要研究方向:肿瘤分子病理, Tel:13991831377, E-mail:hxyiyi@163.com。

通讯作者:张冠军,男,教授,主任医师,硕士生导师,主要研究方向:肾癌分子病理学研究及肿瘤病理诊断, E-mail:zgjdoc@163.com。

0.968 4), compared with the blank group in 72h for the cell viability, miR-25 siRNA group were elevated by 32.7%±3.5%, the difference was statistically significant ($P<0.05$). The miR-25 mimic group were reduced by 23.3%±1.7%, the difference was statistically significant ($P<0.05$), and compared with the control group, the early apoptosis rate was decreased in mimic-miR-25-3p group (8.83±0.09 vs 12.83±0.14), while the difference was statistically significant ($t=42.17, P=0.005$). The late apoptosis rate was slightly escalated (0.41±0.10 vs 0.33±0.15), while the difference was not statistically significant ($t=0.75, P=0.639$). Compared with the control group, the early apoptosis rate was increased in siRNA-miR-25-3p group (19.05±1.64 vs 13.68±0.78), while the difference was statistically significant ($t=5.12, P=0.006$). But the late apoptosis rate was reduced (0.56±0.10 vs 0.62±0.08), while the difference was not statistically significant ($t=0.83, P=0.376$). The survival rate was higher in patients with low expression of miR-25 combined with high expression of FBXO33 ($n=34$) than that of miR-25 high expression combined with low expression of FBXO33 ($n=24$), the difference was statistically significant (Log-rank test $P=0.025$, Gehan-Breslow-Wilcoxon test $P=0.004$). **Conclusion** MiR-25 can inhibit FBXO33 in renal cell carcinoma, improve the cell activity, inhibit apoptosis and reduce the prognosis.

Keywords: miR-25; FBXO33; renal cell carcinoma; cell apoptosis; prognosis

肾细胞癌(renal cell carcinoma, RCC)约占成人恶性肿瘤的2%~3%，其病理类型以透明细胞癌为主。约1/3的RCC患者就诊前已出现转移，约1/3的局限性RCC患者术后复发，然而目前尚无明确的RCC预后指标。研究表明microRNA与多种恶性肿瘤的发生及发展密切相关。在肾癌中也发现多种miRNA异常表达，且与细胞凋亡相关^[1]。miR-25可通过下调MOAP1表达调节三阴性乳腺癌细胞增殖和凋亡^[2]，然而miR-25在肾癌中的作用国内尚无研究报道。FBXO是泛素-蛋白酶体系统(ubiquitin-proteasome system, UPS)中E3连接酶SCF(SKP1-CUL1F-box)复合体的接头蛋白，负责特异性识别底物^[3]。改造FBXO33可影响垂体瘤的发生、增殖和转移^[4]。然而暂无FBXO33在RCC中的研究。因此，本研究将通过探索分析miR-25与FBXO33在RCC中的相关性，检测与细胞凋亡和预后的相关性。

1 材料和方法

1.1 研究对象 786细胞株购自中科院上海细胞所，经DMEM驯服。肿瘤基因图谱(the cancer genome atlas, TCGA)数据库中RCC样本收集自1998~2013年所有分期肾癌患者作为表达及预后分析对象，排除严重并发症。

1.2 试剂和仪器 pGL3野生型FBXO33 3'-UTR(WT)和pGL3突变型FBXO33 3'-UTR(MT)荧光素质粒购于Addgene(Cambridge, MA)，pGL3 control载体(Promega)，Lipofectamine 2000(美国Invitrogen公司)。双荧光素酶基因检测报告试剂盒(北京威格拉斯公司)，CCK8细胞增殖与毒性检测试剂盒(上海七海复泰生物科技有限公司)，Annexin V-FITC细胞凋亡检测试剂盒(珠海健康元生物医药有限公司)。

1.3 方法

1.3.1 数据分析：从TCGA网站(<https://cancergenome.nih.gov/>)下载相应数据，将样本名称

与随访结果以及表达量中的样本名称进行匹配，进而得到相应的分析结果。

1.3.2 荧光素酶报告基因检测：试验重复次数N=3, miR-25-3p+Glo为空白对照组，miR-25-3p+FBXO33 W为实验组，miR-25-3p+FBXO33 M为突变序列对照组。细胞于六孔板中培养(5×10⁵ cells/well), 24 h后，使用Lipofectamine 2000转染入Glo载体(Promega)，FBXO33 W载体和FBXO33 M载体，分别对应对照组、野生型组和突变型组。具体方法按试剂盒说明书进行。

1.3.3 miR-25表达调控：使用Lipofectamine 2000将miR-25 siRNA及相应无义序列，miR-25 mimic及无义序列载入986细胞，分别对应siRNA-miR-25-3p组，siRNA-con组，mimic-miR-25-3p组和mimic-con组。具体瞬转方法按试剂盒说明书进行。

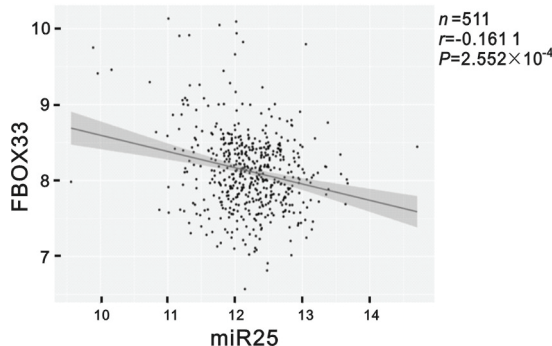
1.3.4 CCK8检测细胞活力：将转染后的siRNA组，siRNA-con组，mimic组和mimic-con组细胞调整细胞密度接种于96孔板，每孔种约3 000个细胞，设对照组和实验组，每组设3个复孔，置于细胞培养箱中培养，24 h后转染质粒。在转染24, 48, 72 h后从培养箱取出，每孔100 μl培养液中加入10 μl CCK8试剂，检测过程按照试剂盒说明书进行。

1.3.5 流式细胞术检测细胞凋亡：取指数生长期的siRNA-miR-25-3p组，siRNA-con组，mimic-miR-25-3p组和mimic-con组细胞，常规消化制备成浓度为2×10⁶个/ml单细胞悬液。检测过程按照试剂盒说明书进行。

1.4 统计学分析 采用统计学软件SPSS 19，所有数据均经统计学处理，计量资料以均数±标准差(̄x±s)表示，两组间采用t检验行差异显著性分析($P<0.05$)。表达相关性分析采用Pearson检验。生存分析采用Log-rank检验和Gehan-Breslow-Wilcoxon检验。

2 结果

2.1 miR-25 与 FBXO33 在肾癌中表达负相关
从 TCGA 数据库获取 511 例 RCC 样本数据分析发现,miR-25 和 FBXO33 表达具有负相关性。见图 1。



注:直线示线性相关性,阴影为 95% 可信区间。

图 1 TCGA 数据库中人透明细胞肾癌 miRNA-25,FBXO33 表达相关性分析

2.2 FBXO33 是 miR-25 作用靶点蛋白 通过数据库查询发现 miR-25 可作用于 FBXO33 3'UTR 的 TGCAAT 序列。采用 miR-25-3p 作为 miR-25 的代表序列,通过构建的 FBXO33 3'UTR 荧光素酶报告基因。结果发现,具有 FBXO33 3'UTR 靶点序列的实验组 RLU 为空白对照组的 80.2% ± 2.6%,差异具有统计学意义 ($t = 6.539$, $P = 0.006$);而突变序列对照组 RLU 为空白对照组的 103.5% ± 8.4%,差异不具有统计学意义 ($t = 0.041$, $P = 0.968$)。

表 1

miR-25 促进 RCC 细胞凋亡 ($\bar{x} \pm s$)

组别	mimic-con	mimic-miR-25-3p	P	siRNA-con	siRNA-miR-25-3p	P		
Early apoptosis	12.83±0.14	8.83±0.09	42.17	0.005	13.68±0.78	19.05±1.64	5.12	0.006
Late apoptosis	0.33±0.15	0.41±0.10	0.75	0.639	0.62±0.08	0.56±0.10	0.83	0.376

注:重复次数 N=3,实验组与对照组(control)比较,采用 t 检验。

3 讨论 肾癌是泌尿系最常见恶性肿瘤之一,其发病率约为全身恶性肿瘤的 2%~3%,其中 80% 以上为源于肾近曲小管的肾透明细胞癌,并且以每年 2% 的速度递增^[6]。近年来,研究表明 microRNA 与多种恶性肿瘤的发生及发展密切相关。在肾癌中,也发现多个 miRNA 表达的异常,包括 miR-335,miR-134,miR-21 等^[6,7],miR-193 可作为肾癌早期诊断指标^[8]。而本研究为国内首次探索 miR-25 与肾癌细胞凋亡及预后的关系,miR-25 在其它肿瘤中已证实可作为预后指标^[9]。

FBXO 是泛素 - 蛋白酶体系统(ubiquitin-proteasome system, UPS)中 E3 连接酶复合体的接头蛋白,负责特异性识别底物^[10]。既往研究发现,FBXO31 与胃癌预后特征具有相关性^[11],而

2.3 miR-25 可调控肾癌细胞活力与凋亡 在 786 细胞中检测调控 miR-25 对细胞活力的影响。转染入 miR-25 siRNA 的细胞与转入空白对照序列的细胞比较,72 h 细胞活力提高 32.7% ± 3.5%,差异具有统计学意义 ($P < 0.05$)。转染入 miR-25 mimic 的细胞与转入相应空白对照序列的细胞比较,72h 细胞活力降低 23.3% ± 1.7%,差异具有统计学意义 ($P < 0.05$)。流式细胞术检测调控 miR-25 对 786 细胞凋亡的影响。抑制 miR-25 可显著诱导 RCC 细胞凋亡比例升高,而提高 miR-25 表达则凋亡降低,见表 1。

2.4 miR-25 及 FBXO33 影响肾癌患者预后 低表达而 FBXO33 高表达者较 miR-25 高表达而 FBXO33 低表达者具有更佳的生存获益,差异具有统计学意义(见图 2, $P=0.025$, $2,0.004$)。

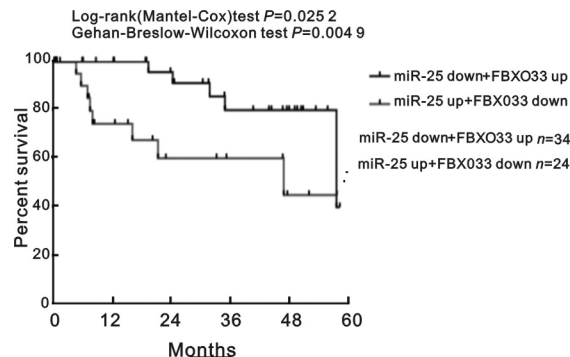


图 2 miR-25 与 FBXO33 联合分组 RCC 生存曲线

FBXO32 则在食管癌中与病理特征相关^[12]。然而 FBXO33 为 FBXO 家族新近发现的成员。FBXO33 与典型 FBXO 蛋白不同,其 C 端无 LRR 序列或 WD40 配体,而其 N 端存在 YB-1 突变。因此,其具体功能可能与其它成员存在差异。既往研究发现 FBXO33 与垂体瘤的发生、增殖和转移具有相关性^[13,14],而本研究为 FBXO33 在肾癌中的首例研究,并证实了其作为 miR-25 的作用靶点参与肾癌细胞凋亡及预后的影响。

本研究预后分析采用了单因素分析方法,尚需要通过与多种临床主要影响因素进行对比分析后,方能明确 FBXO33 或 miR-25a 是否为肾癌独立预后因素。且该标本来自于国际数据库,其与我国人种及环境差异是否影响结果,尚需要 (下转 44 页)

(上接 40 页) 后续在国内患者标本中的研究进行验证。

参考文献:

- [1] Yu HS,Liu ZM,Yu XY,et al. Low-dose radiation induces antitumor effects and erythrocyte system hormesis[J]. Asian Pacific Journal of Cancer Prevention,2013,14(7):4121-4126.
- [2] 梁亮,张寅斌,马宇光,等. miR-25 对三阴性乳腺癌细胞增殖和凋亡的影响及潜在机制[J]. 现代肿瘤医学,2016,24(20):3197-3201.
Liang L,Zhang YB,Ma YG,et al. The effect of miR-25 on proliferation and apoptosis of triple negative breast cancer cells and the potential mechanism[J]. Modern Oncology,2016,24(20):3197-3201.
- [3] Xie CM,Wei W,Sun Y. Role of SKP1-CUL1-F-Box-Protein (SCF) E3 ubiquitin ligases in skin cancer[J]. Journal of Genetics and Genomics,2013,40(3): 97-106.
- [4] Wei C,Liu J,Yu Z,et al. TALEN or Cas9-rapid, efficient and specific choices for genome modifications [J]. Journal of Genetics and Genomics,2013,40(6): 281-289.
- [5] Mo Z,Zu X,Xie Z,et al. Antitumor effect of F-PBF (beta-TrCP)-induced targeted PTTG1 degradation in HeLa cells[J]. Journal of Biotechnology,2009, 139 (1):6-11.
- [6] Hudes GR,Carducci MA,Choueiri TK,et al. NCCN task force report: optimizing treatment of advanced renal cell carcinoma with molecular targeted therapy [J]. Journal of the National Comprehensive Cancer Network,2011,9(Suppl 1):S1-29.
- [7] Faragalla H,Youssef YM,Scorilas A,et al. The clinical utility of miR-21 as a diagnostic and prognostic marker for renal cell carcinoma[J]. Journal of Molecular Diagnostics,2012,14(4):385-392.
- [8] 唐海霞,王成,路美玲,等. 肾透明细胞癌患者血清 miR-193a-3p 水平增加及早期诊断价值[J]. 现代检验医学杂志,2015,30(3):43-45,49.
- Tang HX,Wang C,Lu ML,et al. Elevated serum miR-193a-3p level in renal clear cell carcinoma and its early clinical value[J]. Journal of Modern Laboratory Medicine,2015,30(3):43-45,49.
- [9] 王静,王成,张春妮. 血清 miR-25 和 miR-100 作为食管鳞状细胞癌诊断和预后标志物研究[J]. 现代检验医学杂志,2015,30(5):17-21.
Wang J,Wang C,Zhang CN. Study on serum miR-25 and miR-100 as diagnostic and prognostic markers for esophageal squamous cell carcinoma [J]. Journal of Modern Laboratory Medicine,2015,30(5):17-21.
- [10] Xie CM,Wei W,Sun Y. Role of SKP1-CUL1-F-Box-Protein (SCF) E3 ubiquitin ligases in skin cancer [J]. Journal of Genetics and Genomics,2013,40(3): 97-106.
- [11] 田钰,杨桂芳. FBXO31,Cyclin D1 在胃癌中的表达及其临床意义[J]. 武汉大学学报(医学版),2014, 05;707-709,732.
Tian Y, Yang GF . The expression of FBXO31 and Cyclin D1 in gastric cancer and its clinical significance[J]. Journal of Hubei Medical University(Medical Edition),2014,35(5):707-709,732.
- [12] 张明慧,郭炜,董稚明,等. 食管鳞状细胞癌中 FBXO32 基因表达及其临床意义[J]. 临床与实验病理学杂志,2013,29(6):632-636.
Zhang MH,Guo W,Dong ZM,et al. Expression of FBXO32 in esophageal squamous cell carcinoma and its clinical significance[J]. Journal of Clinical and Experimental Pathology,2013,29(6):632-636.
- [13] Wei CX,Liu JY,Yu ZS,et al. TALEN or Cas9-Rapid, Efficient and Specific Choices for Genome Modifications[J]. Journal of Genetics and Genomics,2013, 40(6):281-289.
- [14] Mo Z,Zu X,Xie Z,et al. Antitumor effect of F-PBF (beta-TrCP)-induced targeted PTTG1 degradation in HeLa cells[J]. Journal of Biotechnology,2009, 139(1):6-11.

收稿日期:2016-11-05

修回日期:2016-12-08